



# 自动控制原理

# 第一章

概念

开环控制

闭环控制

控制方块图

三个性能

## 第二章 建模

### 1、传递函数：定义、性质（与脉冲响应之间的关系）

零初始条件下

$$G(s) = \frac{C(s)}{R(s)}$$

传递函数与系统单位脉冲响应的关系

即讨论当初始条件为零， $r(t)=\delta(t)$  时系统的输出 $c(t)$ 。

此时将 $c(t)$  称为单位脉冲响应。

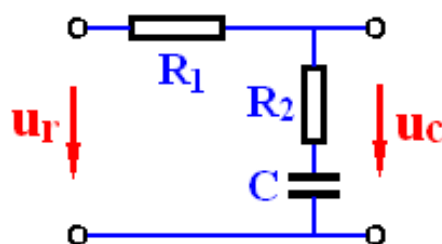
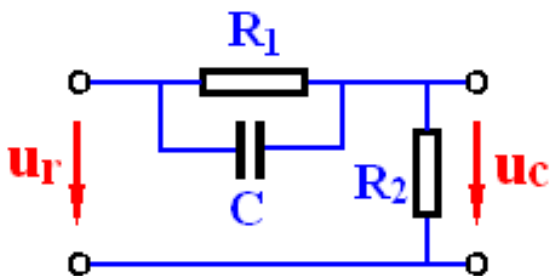
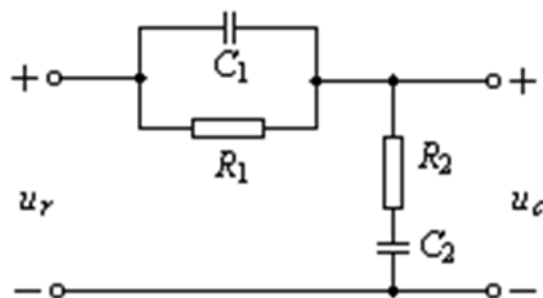
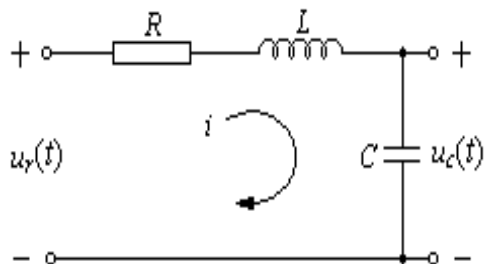
此时 $R(s)=1$ ,那么

$$G(s)=C(s)$$

$$C(s)=L[c(t)]=G(s)$$

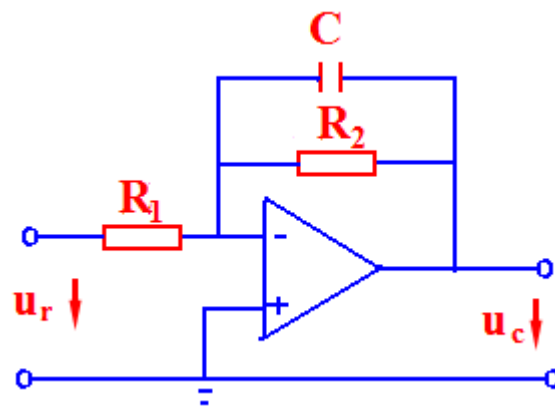
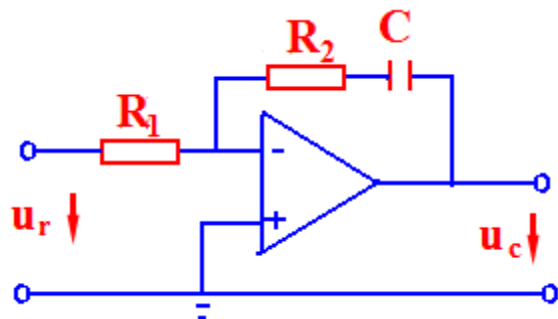
## 2、求传递函数（物理系统）

无源电系统：



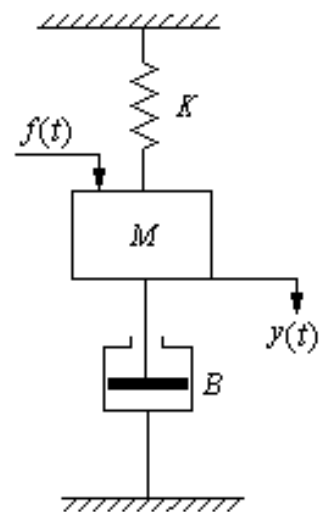
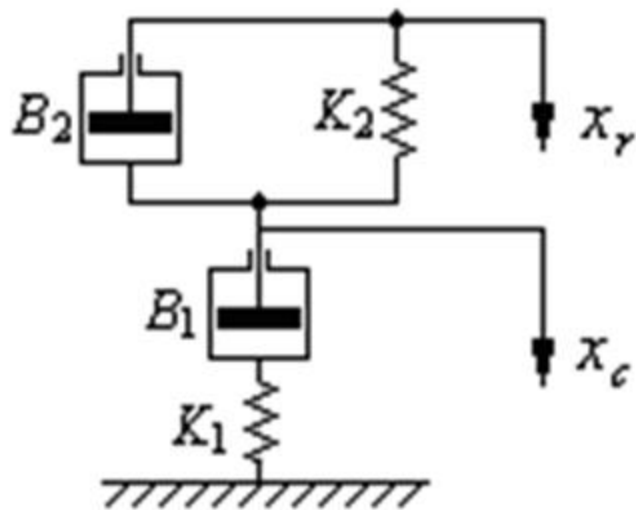
电阻、电容、电感两端电压和电流关系

回路电压方程，节点电流方程



有源电路： $Z_2$ 是反馈通道的电抗， $Z_1$ 输入通道的电抗

$$\frac{U_c}{U_r} = -\frac{Z_2}{Z_1}$$



机械系统：运动参数和力的关系

弹簧：位移与力成正比

阻尼器：速度与力成正比

质量块：加速度与力成正比（质点看作质量为0）

牛顿第二定律

# 传递函数

传递函数有两种比较常见的表示方式

零极点形式 
$$G(s) = \frac{C(s)}{R(s)} = k^* \frac{(s + z_1)(s + z_2) \cdots (s + z_m)}{(s + p_1)(s + p_2) \cdots (s + p_n)} \quad k^* = \frac{b_m}{a_n}$$

$-z_1, \dots, -z_m$  称为传递函数的零点；

$-p_1, \dots, -p_n$  称为传递函数的极点。

$k^*$  为根轨迹增益；

时间常数形式

$$G(s) = \frac{C(s)}{R(s)} = K \frac{(\tau_1 s + 1) \cdots (\tau_p s + 1)(\tau_{11}^2 s^2 + 2\tau_{11}\zeta s + 1) \cdots (\tau_{1q}^2 s^2 + 2\tau_{1q}\zeta s + 1)}{(T_1 s + 1) \cdots (T_x s + 1)(T_{11}^2 s^2 + 2T_{11}\zeta s + 1) \cdots (T_{1y}^2 s^2 + 2T_{1y}\zeta s + 1)}$$

$K$  为静态放大系数

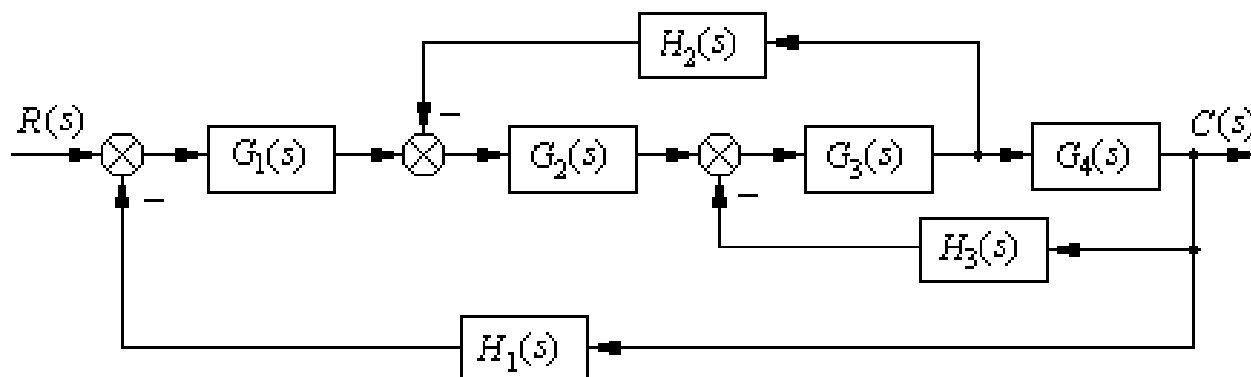
$$K = k^* \frac{z_1 z_2 \cdots z_m}{p_1 p_2 \cdots p_n}$$

### 3、方块图化简

消除交叉回路——移动综合点和引出点（向同类移动）

对无交叉的多回路结构，可由内向外进行变换

三个基本连接：串联、并联及反馈

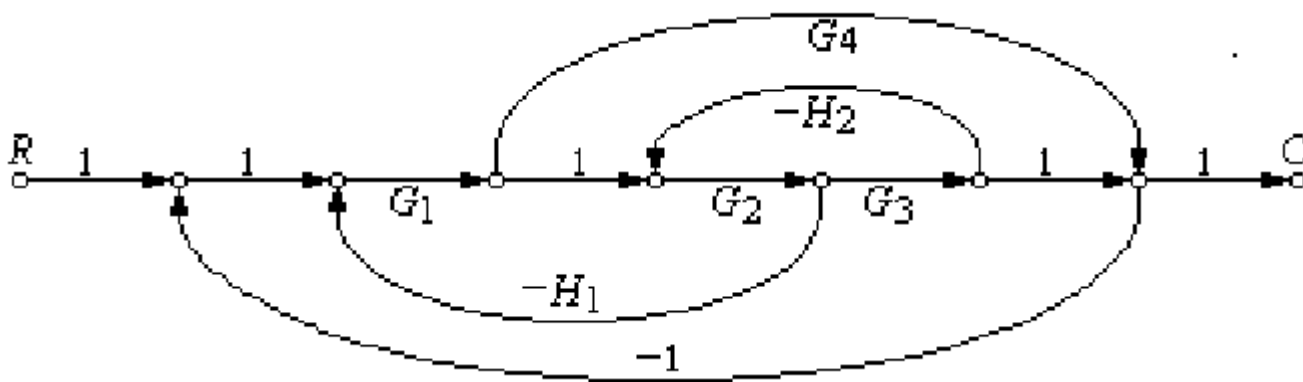




#### 4、信号流图：Mason 公式（注意应用范围）

只适用于输入节点和输出节点之间。

$$G(s) = \frac{\sum_{k=1}^m P_k \Delta_k}{\Delta}$$



$$\begin{aligned} \frac{C(s)}{R(s)} &= \frac{1}{\Delta} (P_1 \Delta_1 + P_2 \Delta_2) \\ &= \frac{G_1 G_2 G_3 + G_1 G_4 (1 + G_2 G_3 H_2)}{1 + G_1 G_2 H_1 + G_2 G_3 H_2 + G_1 G_2 G_3 + G_1 G_4 + G_1 G_2 G_3 G_4 H_2} \end{aligned}$$

# 第三章 时域分析

## 一、动态性能

通用方法：求出闭环传递函数 $G_B(s)$ , 已知输入 $R(s)$ , 求出

$$C(s) = G_B(s)R(s) \quad \text{反拉氏变换求出 } c(t)$$

### 1、一阶系统

$$G_B(s) = \frac{K_B}{Ts + 1} \quad c(t) = K_B (1 - e^{-t/T})$$

$$t_s = 3T \text{ (95\%)} \quad \text{或} \quad t_s = 4T \text{ (98\%)}$$

$$t_r = 2.2T, \quad t_d = 0.69T$$

## 2、二阶系统

$$G_B(s) = \frac{\omega_n^2}{s^2 + 2\zeta\omega_n s + \omega_n^2}$$

$$\zeta < 1 \quad \sigma_p \% = e^{-\frac{\zeta\pi}{\sqrt{1-\zeta^2}}} \times 100\%$$

$$t_s = \frac{3}{\zeta\omega_n} \sim \frac{4}{\zeta\omega_n}$$

$$t_p = \frac{\pi}{\omega_n \sqrt{1-\zeta^2}} \quad t_r = \frac{\pi - \beta}{\omega_d} \quad \beta = \arccos\zeta$$

$$\omega_d = \omega_n \sqrt{1 - \zeta^2}$$

## 高阶系统

主导极点和偶极子的概念；

主导极点以外的极点什么情况下可以忽略；

不能忽略的闭环极点对系统的影响：减少超调量

不能忽略的闭环零点对系统的影响：增大超调量

系统设计——根据给出的性能指标确定参数；（一般原则）

- ✓ 根据稳态误差或稳定性求出K的范围；
- ✓ 再根据动态指标给出主导极点后，确定二阶参数；

## 2、稳定性：

充要条件——所以特征根（闭环极点）在左半平面

劳斯判据

1) 第一列元素为零的情况

2) 全零行情况（建立辅助多项式，存在原点对称的根即为辅助方程的根）

3) 可以判断相对稳定性

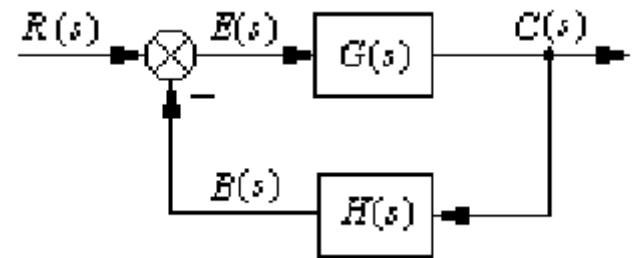
### 3、稳态性能：（稳定条件下，三阶及以上系统讨论稳定性）

通用方法：终值定理，求出系统误差的拉氏变换

$$e_{ss} = \lim_{s \rightarrow 0} sE(s)$$

当系统是如图所示的标准结构和标准误差定义

$$E(s) = \frac{1}{1 + G(s)H(s)} R(s)$$



参考输入引起的误差与系统型别及开环放大系数有关

	单位阶跃输入 $r(t) = 1$	单位斜坡输入 $r(t) = t$	单位抛物线输入 $r(t) = 0.5t^2$
	位置误差系数 $K_p = \lim_{s \rightarrow 0} G(s)H(s)$	速度误差系数 $K_v = \lim_{s \rightarrow 0} sG(s)H(s)$	加速度误差系数 $K_a = \lim_{s \rightarrow 0} s^2G(s)H(s)$
0型系统	$e_{ss} = \frac{1}{1+K}$	$e_{ss} = \infty$	$e_{ss} = \infty$
1型系统	$e_{ss} = 0$	$e_{ss} = \frac{1}{K}$	$e_{ss} = \infty$
2型系统	$e_{ss} = 0$	$e_{ss} = 0$	$e_{ss} = \frac{1}{K}$

15

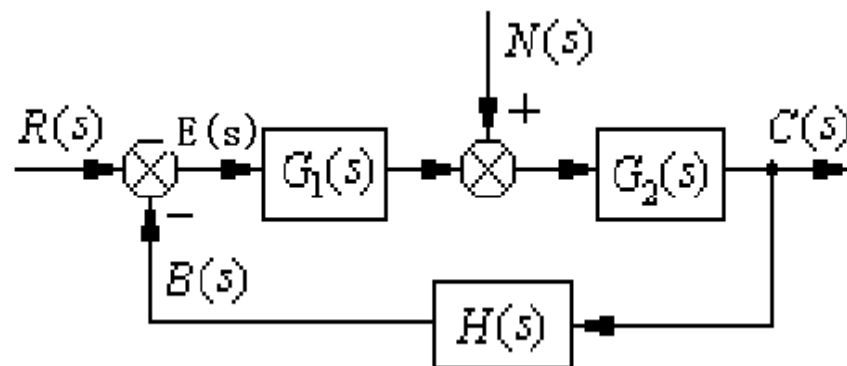
当输入为阶跃、斜坡和抛物线函数的组合时，抛物线函数分量要求系统型号最高。

计算稳态误差应按最高阶输入形式计算。

扰动引起的稳态误差

不仅与积分环节有关；

而且还与积分环节所在位置有关。（ $K$ 为 $G_1(s)$ 的环节增益）



	单位阶跃输入 $n(t) = 1$	单位斜坡输入 $n(t) = t$	单位抛物线输入 $n(t) = 0.5t^2$
$G_1(s)$ 不含积分环节	$e_{ss} = -\frac{1}{1+K}$ 0型	$e_{ss} = \infty$	$e_{ss} = \infty$
$G_1(s)$ 不含积分环节	$e_{ss} = -\frac{1}{K}$ 非0型	$e_{ss} = \infty$	$e_{ss} = \infty$
$G_1(s)$ 含1个积分环节	$e_{ss} = 0$	$e_{ss} = -\frac{1}{K}$	$e_{ss} = \infty$
$G_1(s)$ 含2个积分环节	$e_{ss} = 0$	$e_{ss} = 0$	$e_{ss} = -\frac{1}{K}$



# 第四章 根轨迹

## 1、根轨迹的概念

1) 根轨迹方程

2) 幅值条件和相角条件

3) 确认根轨迹上的点的充要条件是相角条件

## 2、根轨迹 的绘制

1) 普通根轨迹(180度根轨迹)的绘制 (七条规则)

2) 正反馈根轨迹(0度根轨迹)的绘制 (七条规则)

3) 参数根轨迹的绘制 (等效的开环传递函数)

## 3、根据根轨迹分析系统性能和校正系统

# 绘制普通根轨迹 ( $180^\circ$ ) 规则小结

规则 1 根轨迹的分支数, 对称性和连续性

规则 2 根轨迹的起点和终点

规则 3 实轴上的根轨迹

规则 4 渐近线

$$\sigma_a = \frac{\sum_{i=1}^n p_i - \sum_{j=1}^m z_j}{n - m} \quad \varphi_a = \frac{(2k+1)\pi}{n - m}$$

规则 5 分离点

$$\sum_{i=1}^n \frac{1}{d - p_i} = \sum_{j=1}^m \frac{1}{d - z_j}$$

没有零点时右边为0

规则 6 与虚轴交点

$$\operatorname{Re}[D(j\omega)] = \operatorname{Im}[D(j\omega)] = 0$$

规则 7 出射角

$$\theta_{pl} = (2k+1)180^\circ + \sum_{i=1}^m \angle(p_l - z_i) - \sum_{\substack{j=1 \\ j \neq l}}^n \angle(p_l - p_j)$$

入射角

$$\theta_{zl} = (2k+1)180^\circ - \sum_{\substack{i=1 \\ i \neq l}}^m \angle(z_l - z_i) + \sum_{j=1}^n \angle(z_l - p_j)$$

# 绘制零度根轨迹的基本法则

规则 1 轨迹的支数对称性连续性

规则 2 根轨迹的起点和终点

规则 3 实轴上的根轨迹 根轨迹右侧开环零极点数为偶数

规则 4 渐近线

$$\sigma_a = \frac{\sum_{i=1}^n p_i - \sum_{j=1}^m z_j}{n - m} \quad \varphi_a = \frac{2k\pi}{n - m}$$

规则 5 分离点

规则 6 与虚轴交点

规则 7 出射角/入射角

$$\theta_{p_l} = 2k*180^\circ + \sum_{i=1}^m \angle(p_l - z_i) - \sum_{\substack{j=1 \\ j \neq l}}^n \angle(p_l - p_j)$$
$$\theta_{z_l} = 2k*180^\circ - \sum_{\substack{i=1 \\ i \neq l}}^m \angle(z_l - z_i) + \sum_{j=1}^n \angle(z_l - p_j)$$

绘制0°根轨迹的几种情况：

$$G(s)H(s) = \frac{K^* (s - z_1) \cdots (s - z_m)}{(s - p_1)(s - p_2) \cdots (s - p_n)} = \frac{K^* \prod_{i=1}^m (s - z_i)}{\prod_{j=1}^n (s - p_j)}$$

- ◆ 要求绘制 $K=0 \rightarrow \infty$ 时最小相位系统的正反馈根轨迹
- ◆ 要求绘制 $K=-\infty \rightarrow 0$ 时最小相位系统的根轨迹
- ◆ 具有下列形式的非最小相位系统 $K=0 \rightarrow \infty$

$$G(s)H(s) = \frac{K(1 - \tau s)}{s(1 + Ts)} \quad (\tau > 0, T > 0)$$

$$G(s)H(s) = \frac{-K(\tau s - 1)}{s(1 + Ts)} \quad (\tau > 0, T > 0)$$

## 参数根轨迹

### — 除 $K^*$ 之外其他参数变化时系统的根轨迹

单位反馈的系统开环传递函数

$a=0 \rightarrow \infty$  变化, 绘制根轨迹

解:

$$D(s) = s^3 + s^2 + \frac{1}{4}s + \frac{1}{4}a = 0$$

构造 “等效开环传递函数”

$$D(s) = 1 + GH(s) = 1 + GH^*(s) = 0$$

$$GH(s) = K^* \frac{\prod_{i=1}^m (s - z_i)}{\prod_{j=1}^n (s - p_j)}$$

$$GH^*(s) = a \frac{\prod_{i=1}^m (s - z'_i)}{\prod_{j=1}^n (s - p'_j)}$$

$$G(s)H(s) = \frac{(s+a)/4}{s^2(s+1)}$$

$$\Rightarrow D(s) = \left( s^3 + s^2 + \frac{1}{4}s \right) + \frac{1}{4}a = 0$$

$$1 + \frac{\frac{1}{4}a}{\left( s^3 + s^2 + \frac{1}{4}s \right)} = 0$$

$$GH^*(s) = \frac{a/4}{s^3 + s^2 + s/4} = \frac{a/4}{s(s+0.5)^2}$$

等效根轨迹增益是  $a^* = \frac{a}{4}$

# 第五章 频域分析

1、频率响应与频率特性的关系

2、幅相曲线和Bode图的绘制

3、奈氏判据

1) 绘制幅相曲线 ( $\omega: 0+ \rightarrow \infty$ )

2) 关于实轴对称的绘制  $\omega: -\infty \rightarrow 0-$  的幅相曲线

3) 从  $0- \rightarrow 0+$  顺时针补画半径为无穷大的圆弧  $\nu\pi$

(其中  $\nu$  为系统型别)

用公式  $Z=P-N$  (注意  $P$  为开环传递函数在右半平面极点,  $N$  逆时针包围为正)

## 4、由Bode图求传递函数

低频段确定型别和K值

转折频率确定环节参数

转折频率处斜率变化确定环节性质

## 5、幅值裕度和相位裕度（定义、图解）

1) 公式计算（剪切频率和相位穿越频率）

2) 图解法（从幅相曲线或bode图上可以求出）

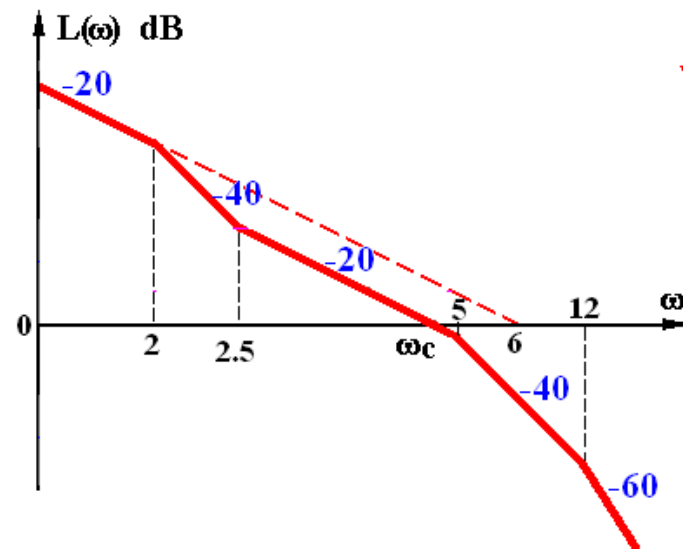
例

$$G(s) = \frac{6(\frac{s}{2.5} + 1)}{s(\frac{s}{2} + 1)(\frac{s}{5} + 1)(\frac{s}{12.5} + 1)}, \text{ 求 } \gamma, K_g^\circ$$

解：作  $L(\omega)$  求  $\omega_c$

$$G(j\omega_c) = 1 = \frac{6 \times \frac{\omega_c}{2.5}}{\omega_c \cdot \frac{\omega_c}{2} \cdot 1 \cdot 1} = \frac{6 \times 2}{2.5\omega_c}$$

$$\omega_c = \frac{6 \times 2}{2.5} = 4.8$$



$$\gamma = 180^\circ + \angle G(j\omega_c)$$

$$= 180^\circ + \arctg \frac{4.8}{2.5} - 90^\circ - \arctg \frac{4.8}{2} - \arctg \frac{4.8}{5} - \arctg \frac{4.8}{12.5}$$

$$= 180^\circ + 62.5^\circ - 90^\circ - 67.4^\circ - 43.8^\circ - 21^\circ = 20.3^\circ$$



# 第六章 校正

## 1、串联校正、反馈校正结构、特点

PID: P——比例基本,

I——积分, 改善静态特性;

D——微分, 改善动态性能;

## 2、按照校正装置（超前、滞后）进行设计

装置的电路、传递函数

设计原理及特点

设计步骤（验算结果）

## 3、期望频率特性法（串联校正）

## 4、没有标准答案（没有指定方法），通过验算表明正确与否

## 超前校正步骤 (设给定指标 $e_{ss}^*$ , $\omega_c^*$ , $\gamma^*$ )

1) 根据稳态性能决定低频段斜率和K值  $e_{ss}^* \rightarrow K$

2) 由原系统  $G_0(s) \rightarrow L_0(\omega) \rightarrow \omega_c \rightarrow \gamma$  若  $\omega_c$ 、 $\gamma$  不满足

3) 确定  $\varphi_m = \gamma^* - \gamma + (5^\circ \sim 20^\circ)$

若  $\varphi_m < 60^\circ$  可以考虑用超前校正

$$a = \frac{1 + \sin \varphi_m}{1 - \sin \varphi_m} \quad \text{确定参数 } a$$

4) 将原系统  $-10\lg a$  处定为超前校正网络  $w_m$  处, 即校正后系统的剪切频率处

$$\omega_m = \frac{1}{T\sqrt{a}} \quad \text{确定参数 } T$$

5) 作校正装置的Bode图

6)  $G_K(s) = G_c(s) \cdot G_0(s)$  验算  $\omega_c$  和  $\gamma$  是否满足要求

超前校正同时给出 $\omega_c$ 和 $\gamma$ 的要求时，

前面的方法根据相位裕度要求设计超前校正，此时剪切频率随之确定，如果不符合要求，需有重新设计。

还有一种方法，首先根据剪切频率的要求来设计超前网络，然后验证相位裕度。

先选择确定校正后剪切频率 $\omega'_c$

那么原系统在 $\omega'_c$ 处的对数幅值应该等于 $-10\lg a$  确定 $a$

再令  $\omega'_c = \omega_m = \frac{1}{T\sqrt{a}}$  确定 $T$

最后验算 $\gamma$

**滞后校正步骤** (设给定指标  $e_{ss}^*$ ,  $\omega_c^*$ ,  $\gamma^*$ )

1) 根据稳态性能决定低频段斜率和K值  $e_{ss}^* \rightarrow K$

2) 由原系统  $G_0(s) \rightarrow L_0(\omega) \rightarrow \omega_c \rightarrow \gamma$  若  $\omega_c$ 、 $\gamma$  不满足

3) 在原系统相位为  $\phi_m = \gamma^* + (6^\circ \sim 10^\circ) - 180^\circ$

处作为  $\omega_c'$

4) 将原系统对应  $\omega_c'$  处的幅值作为  $-20\lg b$ , 确定参数b

$$20 \lg |G(j\omega_c')| = -20 \lg b$$

5) 将校正后系统剪切频率  $\omega_c'$  定于滞后校正的后一个转折频率10倍频远, 确定参数T。

$$\omega_c' = 10 \frac{1}{bT}$$

6) 作校正装置的Bode图

7)  $G_K(s) = G_c(s) \cdot G_0(s)$  验算  $\omega_c$  和  $\gamma$  是否满足要求